

## Příklad 6: Bariéra a tunelový jev

Předpokládejme, že částice o hmotnosti  $m$  a energii  $E$  dopadá zleva na potenciálovou bariéru (viz obrázek) o výšce  $V_0$ . Energie částice je menší než výška potenciálové bariéry, takže by částice v klasickém případě bariérou nemohla prolétnout, protože nemá dosti velkou energii na to, aby se „přehoupla“ přes bariéru. V kvantové mechanice to možné je. Průběh potenciálu má jednoduchý tvar

$$V(x) = \begin{cases} V_0; & x \in (0, L), \\ 0; & x \notin (0, L). \end{cases} \quad (1)$$

Řešení Schrödingerovy rovnice

$$-\frac{\hbar^2}{2m} \frac{d^2\psi}{dx^2} + V(x)\psi = E\psi \quad (2)$$

rozdělíme, tak jako v předchozích případech, do tří oblastí, ve kterých má potenciál jednu konkrétní konstantní hodnotu. Na bariéře se pro letící částici již řešení nerozdělí na sadu sudých a lichých řešení (tak jak tomu bylo v symetrické jámě), a tak ztrácí smysl psát řešení jako superpozici lichého sinu a sudého kosinu a udržovat počátek souřadnic uprostřed bariéry. Namísto toho využijeme superpozici kmitavých exponenciálních funkcí, se kterými se v obecném případě lépe zachází (například je jednodušší jejich derivace). Řešení Schrödingerovy rovnice v jednotlivých oblastech bude mít tvar:

$$\begin{aligned} \psi_{\text{I}}(x) &= A_{\text{I}} e^{ikx} + B_{\text{I}} e^{-ikx}; & x \in \text{I}, & \quad \hbar^2 \equiv \frac{2m(V_0 - E)}{\hbar^2}; \\ \psi_{\text{II}}(x) &= A_{\text{II}} e^{hx} + B_{\text{II}} e^{-hx}; & x \in \text{II}, & \\ \psi_{\text{III}}(x) &= A_{\text{III}} e^{ikx} + B_{\text{III}} e^{-ikx}; & x \in \text{III}, & \quad k^2 \equiv \frac{2mE}{\hbar^2}. \end{aligned} \quad (3)$$

Vzhledem k pravděpodobnostnímu charakteru kvantové mechaniky musíme pokus mnohokrát opakovat, což znamená, že máme připraveno velké množství částic ve stejném stavu (se stejnou energií a hybností), které opakovaně posíláme zleva na bariéru. Vlnová funkce  $\psi(x)$  má význam amplitudy pravděpodobnosti výskytu částic a její kvadrát  $w(x) = \psi^*\psi$  má význam hustoty pravděpodobnosti výskytu částic. V klasické teorii vlnění mají rovinné vlny šířící se ve směru (+) a proti směru (-) osy  $x$  tvar

$$\begin{aligned} \varphi_+(t, x) &= A e^{i[kx - \omega t]}; \\ \varphi_-(t, x) &= A e^{i[-kx - \omega t]}. \end{aligned} \quad (4)$$

Odsud snadno nahlédneme, že řešení v oblastech I a III je superpozicí vln šířících se doprava a doleva. Vzhledem k tomu, že zprava na bariéru žádné částice nepřicházejí, musí platit

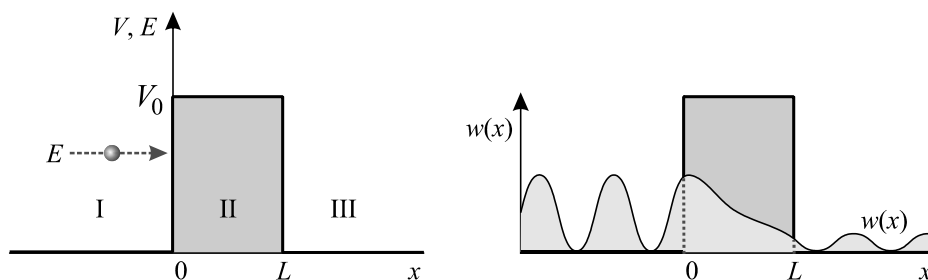
$$B_{\text{III}} = 0. \quad (5)$$

V levé části (před bariérou) superpozice zůstane. Vlna šířící se doprava koresponduje s částicemi, které posíláme na bariéru, vlna šířící se doleva je způsobena částicemi odraženými od bariéry. Podmínky spojitosti vlnové funkce a její první derivace na levé a pravé straně bariéry vedou na rovnice

$$\begin{aligned} \psi_{\text{I}}(0) &= \psi_{\text{II}}(0); & \psi'_{\text{I}}(0) &= \psi'_{\text{II}}(0); \\ \psi_{\text{II}}(L) &= \psi_{\text{III}}(L); & \psi'_{\text{II}}(L) &= \psi'_{\text{III}}(L). \end{aligned} \quad (6)$$

Po dosazení dostaneme vztahy mezi konstantami  $A, B$ :

$$\begin{aligned} A_{\text{I}} + B_{\text{I}} &= A_{\text{II}} + B_{\text{II}}; \\ A_{\text{II}} e^{hL} + B_{\text{II}} e^{-hL} &= A_{\text{III}} e^{ikL}; \\ ikA_{\text{I}} - ikB_{\text{I}} &= hA_{\text{II}} - hB_{\text{II}}; \\ A_{\text{II}} h e^{hL} - B_{\text{II}} h e^{-hL} &= ikA_{\text{III}} e^{ikL}. \end{aligned} \quad (7)$$



Průběh potenciálu (nalevo) a pravděpodobnost výskytu (napravo) částice letící na jednorozměrnou pravoúhloú potenciálovou bariéru.

Vzhledem k tomu, že máme 4 podmínky pro pět konstant, je vše v pořádku a jedna konstanta zůstává volná pro normování nalezené vlnové funkce. Jinou možností je vzít nenormovanou vlnovou funkci a amplitudu dopadajících vln volit rovnou

$$A_{\text{I}} = 1. \quad (8)$$

V tomto případě budeme mít mimořádně jednoduchý výpočet koeficientu propustnosti bariérou. Ten je definován jako podíl počtu prošlých částic ku podílu počtu dopadlých částic a vypočteme ho jako podíl hustot pravděpodobností prošlé a dopadající vlny:

$$\blacktriangleright \quad T = \frac{A_{\text{III}}^* A_{\text{III}}}{A_{\text{I}}^* A_{\text{I}}} = A_{\text{III}}^* A_{\text{III}}. \quad (9)$$

Obdobně můžeme zavést koeficient odrazu

$$\blacktriangleright \quad R = \frac{B_{\text{I}}^* B_{\text{I}}}{A_{\text{I}}^* A_{\text{I}}} = B_{\text{I}}^* B_{\text{I}}. \quad (10)$$

Soustavu (7) přepíšeme do maticové podoby, volba  $A_{\text{I}} = 1$  dá vzniknout pravé straně soustavy:

$$\begin{pmatrix} 1 & -1 & 1 & 0 \\ e^{hL} & 0 & e^{-hL} & -e^{ikL} \\ h & ik & -h & 0 \\ he^{hL} & 0 & -he^{-hL} & -ike^{ikL} \end{pmatrix} \cdot \begin{pmatrix} A_{II} \\ B_I \\ B_{II} \\ A_{III} \end{pmatrix} = \begin{pmatrix} 1 \\ 0 \\ ik \\ 0 \end{pmatrix} \quad (11)$$

Vzhledem k tomu, že chceme určit koeficienty propustnosti bariéry, stačí určit jen konstantu  $A_{III}$  a ostatní eliminovat. Matici můžeme převést na trojúhelníkovou matici nebo použít metodu subdeterminantů, metodu inverzní matice atd. Výpočet je již přímočarý. Výsledek je:

$$\blacktriangleright \quad T = \frac{1}{1 + \frac{V_0^2 \sinh^2(hL)}{4E(V_0 - E)}}. \quad (12)$$

Koeficient odrazivosti  $R$  můžeme snadno určit ze zákona zachování počtu částic:

$$\blacktriangleright \quad R + T = 1. \quad (13)$$

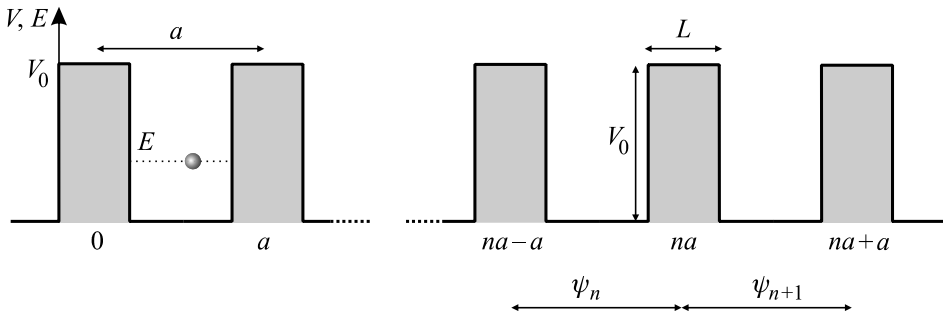
Kvantová teorie připouští průchod částice bariérou i v případě, že částice má nižší energii, než je hodnota potenciálu na vrcholu bariéry. Je to dáno nekomutativností potenciální a kinetické energie. Z Heisenbergových relací neurčitosti potom plyne, že obě hodnoty nemůžeme současně přesně měřit. Neurčitost kinetické a potenciální energie umožní tu a tam průchod částice bariérou. Tomuto jevu říkáme tunelový jev. Pravděpodobnost jevu exponenciálně klesá s tloušťkou bariéry. Typickým příkladem mohou být dvě oblasti kovu oddělené tenkým izolantem, přes který mohou tunelovat elektrony. Dalším příkladem jsou alfa částice tunelující z atomového jádra přes Coulombovu bariéru při radioaktivním alfa rozpadu. Na tunelovém jevu je založena tunelová dioda, rastrovací tunelový mikroskop a další zařízení.

## Příklad 7: Periodický potenciál a pásové spektrum

Velmi častý je také pohyb částic v nelokalizovaném potenciálu, například v periodickém potenciálu krystalické mříže, který splňuje základní podmínku

$$V(x+a) = V(x), \quad (14)$$

kde  $a$  je perioda potenciálu. K pochopení základních vlastností periodického potenciálu postačí řešit případ nekonečné posloupnosti střídajících se jam a bariér. Tento průběh potenciálu se nazývá Kronigův-Penneyův model. Poprvé ho použili německo-americký fyzik Ralph Kronig a anglický matematik William Penney. Budeme předpokládat, že výška opakujících se bariér je  $V_0$ , jejich šířka  $L$  a periodičita  $a$ .



Kronigův-Penneyův model krystalu s periodickým potenciálem.

### Kronigův-Penneyův model

Kvalitativní charakter spektra nezávisí na šířce jednotlivých bariér. Budeme je deformovat tak, aby zůstala zachována jejich plocha, tj. provedeme limitu  $L \rightarrow 0$ ,  $V_0 \rightarrow \infty$ , tak, aby se součin  $LV_0$  neměnil. Tím získáme potenciál složený z nekonečné řady Diracových impulzů a na každé bariéře postačí jedno jediné navázání vlnové funkce. Budeme tedy mít potenciál

$$V(x) = LV_0 \sum_{n=-\infty}^{n=+\infty} \delta(x-na), \quad (15)$$

pro který snadno nalezneme řešení na intervalu  $(na-a, na)$ , kde je potenciál nulový:

$$\begin{aligned} \psi_n(x) &= A_n \cos[k(x-na)] + B_n \sin[k(x-na)]; \\ \psi'_n(x) &= -A_n k \sin[k(x-na)] + B_n k \cos[k(x-na)]; \\ k &\equiv 2mE/\hbar^2; \quad n = 0, \pm 1, \pm 2, \dots \end{aligned} \quad (16)$$

Argument kmitavého řešení je vždy posunut do lokálního počátku v místě každého Diracova impulzu, takže sinus začíná u každé bariéry od nuly a kosinus od jednotky. Při navazování vlnových funkcí využijeme tři podmínky. Samotná vlnová funkce bude spojitá, první derivace bude mít skok (jde o Diracův impulz) a periodičita potenciálu

povede na periodicitu hustoty pravděpodobnosti. Rozepišme nyní tyto tři podmínky pro navázání na  $n$ -tém Diracově impulzu (resp. na  $n$ -té infinitezimální bariéře):

### 1. spojitost vlnové funkce

Na každé bariéře musíme předpokládat spojitost vlnové funkce. Kdyby byla nespojitá, první derivace by dala distribuci a druhá derivace obsažená ve Schrödingerově rovnici by byla derivací distribuce, kterou by nebylo možné žádným dalším členem kompenzovat. Musí tedy platit:

$$\psi_n(na) = \psi_{n+1}(na) . \quad (17)$$

Odsud dostaneme první z výše zmíněných tří podmínek:

$$\blacktriangleright \quad A_n = A_{n+1} \cos(ka) - B_{n+1} \sin(ka) . \quad (18)$$

### 2. Skok v první derivaci

Napišme Schrödingerovu rovnici v naší situaci

$$-\frac{\hbar^2}{2m} \psi'' + V(x) \psi = E \psi . \quad (19)$$

Rovnici budeme integrovat v  $\varepsilon$ -okolí  $n$ -tého Diracova impulzu:

$$-\frac{\hbar^2}{2m} \int_{na-\varepsilon}^{na+\varepsilon} \psi''(x) dx + \int_{na-\varepsilon}^{na+\varepsilon} \delta(x-na) \psi(x) dx = \int_{na-\varepsilon}^{na+\varepsilon} E \psi(x) dx .$$

Prostřední integrál lze spočítat vzhledem k přítomnosti Diracovy distribuce velmi snadno. V ostatních provedeme limitní přechod  $\varepsilon \rightarrow 0$ . Integrál na pravé straně dá díky spojitosti  $\psi$  nulu a levý integrál příslušný skok:

$$-\frac{\hbar^2}{2m} \lim_{\varepsilon \rightarrow 0} [\psi']_{na-\varepsilon}^{na+\varepsilon} + \psi_n(na) = 0 ,$$

odsud plyne podmínka pro skok první derivace  $\psi$  na  $n$ -tém Diracově impulzu

$$-\frac{\hbar^2}{2m} [\psi'_{n+1}(na) - \psi'_n(na)] + \psi_n(na) = 0 . \quad (20)$$

Po dosazení řešení (16) máme druhou podmínku:

$$\blacktriangleright \quad A_{n+1} \sin(ka) + B_{n+1} \cos(ka) - B_n = \frac{2mLV_0}{\hbar^2} A_n . \quad (21)$$

### 3. Periodicita

Z periodicity potenciálu (14) plyne periodicita hustoty pravděpodobnosti

$$w(x+a) = w(x) ; \quad w(x) \equiv \psi^*(x) \psi(x) . \quad (22)$$

Odsud je jasné, že pro vlnovou funkci musí platit

$$\psi(x+a) = e^{i\phi} \psi(x) , \quad (23)$$

kde  $\phi$  je nějaké fázové posunutí. Pro naše konstanty potom plyne:

$$\blacktriangleright \quad B_{n+1} = e^{i\phi} B_n ; \quad A_{n+1} = e^{i\phi} A_n . \quad (24)$$

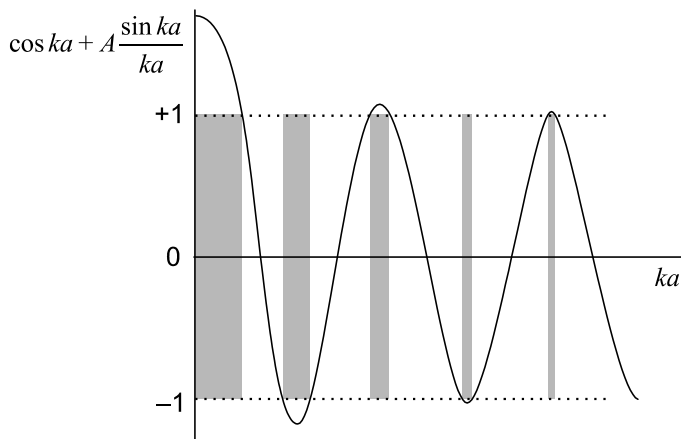
Nyní dosadíme (24) do podmínek (18) a (21). Tím získáme soustavu rovnic pro neznámé konstanty  $A_n$  a  $B_n$ :

$$\begin{pmatrix} e^{i\phi} \cos ka - 1, & -e^{i\phi} \sin ka \\ e^{i\phi} \sin ka - \xi, & e^{i\phi} \cos ka - 1 \end{pmatrix} \begin{pmatrix} A_n \\ B_n \end{pmatrix} = 0 ; \quad \xi \equiv \frac{2mLV_0}{\hbar^2} . \quad (25)$$

Nenulové řešení získáme jen tehdy, pokud bude determinant soustavy nulový, což vede na podmínku:

$$\blacktriangleright \quad \cos \phi = \cos ka + A \frac{\sin ka}{ka} ; \quad A \equiv \frac{mLaV_0}{\hbar^2} . \quad (26)$$

Pravá strana této podmínky musí být z intervalu  $\langle -1, 1 \rangle$ , jinak úhel  $\phi$  na levé straně nelze nalézt a řešení neexistuje. Výsledkem jsou pásy, ve kterých se částice pohybovat může, a zakázané pásy, ve kterých řešení neexistuje, tj. částice s takovou energií se v periodickém potenciálu nemůže vyskytovat. Připomeňme si, že vlnový vektor  $\mathbf{k}$  je v podmínce (26) provázán s energií podle vztahu (16), tj. platí  $k = 2mE/\hbar^2$ .



V grafu je vynesena pravá strana podmínky (26). Tam, kde je křivka mimo interval  $\langle -1, 1 \rangle$ , řešení neexistuje a na grafu je šedou barvou označen zakázaný pás.

Zakázané pásy jsou typické v krystalových mřížích, v polovodičích, ale třeba i v periodických strukturách motýlích křídel, kde způsobují zajímavé, jakoby nepřirozené barvy.